

João Pedro Dias Nunes 10705846

Equações Diferenciais

PME 3380 - Modelagem de Sistemas Dinâmicos - Lista 2

Brasil

2020

Sumário

1	EXEMPLOS	2
1.1	Comparação entre a solução numérica e analítica com o método de Euler	2
1.1.1	Modelagem	2
1.1.2	Código	2
1.1.3	Resultados	4
1.2	Comparação entre a solução numérica e analítica com o método de Runge-Kutta	5
1.2.1	Modelagem	5
1.2.2	Código	6
1.2.3	Resultados	8
2	EXERCÍCIOS	10
2.1	Reservatório com uma entrada e uma saída	10
2.1.1	Modelagem	10
2.1.2	Código	11
2.1.3	Resultados	12
2.2	Dois reservatórios com uma entrada e uma saída	13
2.2.1	Modelagem	13
2.2.2	Código	15
2.2.3	Resultados	16

1 Exemplos

1.1 Comparação entre a solução numérica e analítica com o método de Euler

1.1.1 Modelagem

Como motivação para exemplificar uma integração numérica, utilizaremos um material cujo calor específico a pressão constante c_p , que está inicialmente a uma temperatura T_0 , sofre uma variação infinitesimal de temperatura, modelada por:

$$mc_p dT = Ak(T_f - T)dt = \text{calor trocado no intervalo de tempo } dt \quad (1.1)$$

$$\frac{dT}{dt} = \frac{Ak}{mc_p}(T_f - T) \quad (1.2)$$

ou, chamando

$$T = y \quad (1.3)$$

$$\frac{Ak}{mc_p} = C \quad (1.4)$$

obtemos

$$\dot{y} = C(T_F - y) \quad (1.5)$$

Ao adotarmos $C = 1/2$ e $T_F = 1$, tem-se

$$\dot{y}(t) = (1 - y(t))/2 \quad (1.6)$$

com parâmetros de tempo iniciais e finais, respectivamente dados por $t_i = 0$ e $t_f = 10$.

O problema acima também possui solução analítica (exata), dada por

$$y_e(t) = 1 - e^{-t/2} \quad (1.7)$$

1.1.2 Código

Utilizando o método de *Euler* no código abaixo, podemos simular a integração numérica, com passo 0,5, e a analítica com a equação 1.7.

```

1 clc (); clear (); close ();
2
3 t(1) = 0; %instante inicial

```

```

4 tf = 10; %instante final
5
6 y(1) = 0; %condição inicial
7 ye(1) = 0; %valor inicial da solução exata
8
9 h = 0.5; %passo
10
11 n = round(tf/h); %Cálculo do número de passos
12
13 for i=1:n %método de Euler
14     t(i+1)=t(i)+h; %vetor de tempo
15     y(i+1)=y(i)+h*derivada(y(i)); %solução numérica
16     ye(i+1) = 1-exp((-t(i+1)/2)); %solução exata
17 end
18
19
20 f1 = figure;
21 plot(t,y,t, ye)
22 title("Determinação da temperatura do corpo")
23 xlabel("Tempo (s)")
24 ylabel("Temperatura ( C )")
25 legend('Solução Numérica','Solução Analítica','Location','southeast')
26 grid on
27 ax = gca;
28 ax.XRuler.Exponent = 0;
29 trocar()

```

Com esse código para derivada:

```

1 function out = derivada(y)
2 out = (1-y)/2;
3 end

```

E esse para substituição de ponto por vírgula nos gráficos:

```

1 function trocar()
2 xl=get(gca, 'XTickLabel');
3 new_xl=strrep(xl(:), '.', ',');
4 set(gca, 'XTickLabel', new_xl);
5
6 yl=get(gca, 'YTickLabel');
7 new_yl=strrep(yl(:), '.', ',');
8 set(gca, 'YTickLabel', new_yl);
9 end

```

1.1.3 Resultados

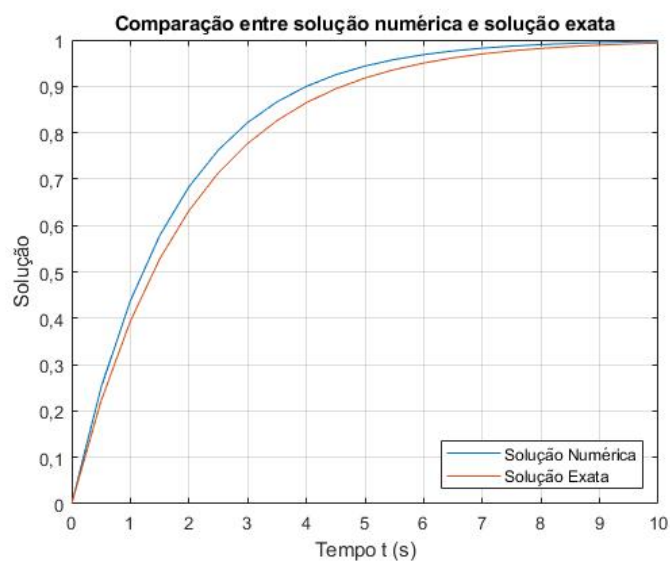


Figura 1 – Primeiro tipo de gráfico para os resultados da temperatura

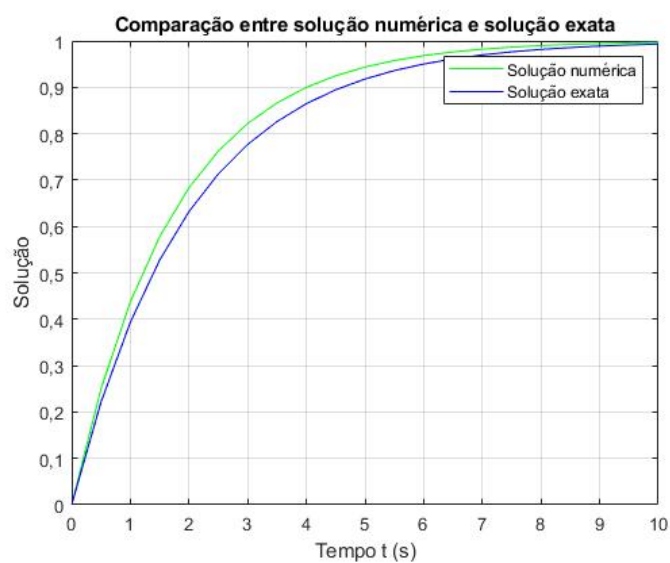


Figura 2 – Segundo tipo de gráfico para os resultados da temperatura

Observa-se que há uma disparidade entre as soluções, que é mitigada com o aumento do passo. Com um passo $h = 0.1$, obtemos:

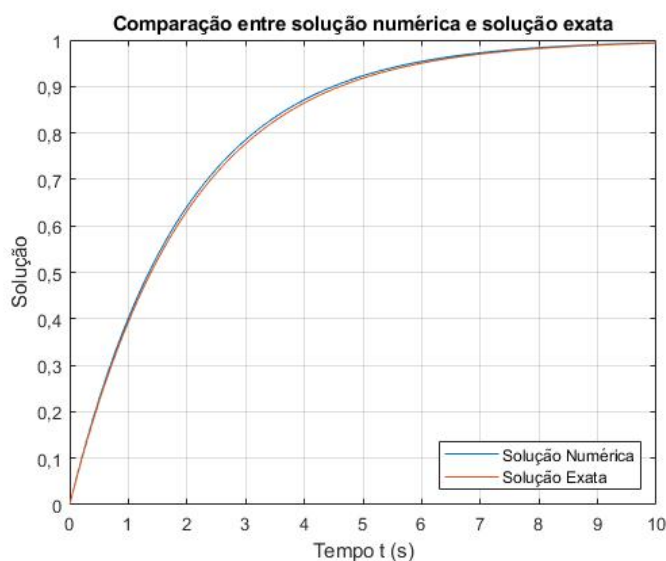


Figura 3 – Primeiro tipo de gráfico para os resultados da temperatura, com passo menor

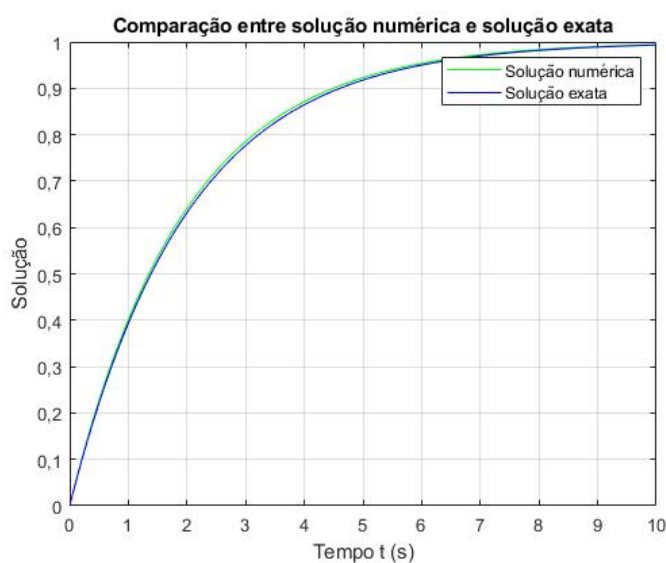


Figura 4 – Segundo tipo de gráfico para os resultados da temperatura, com passo menor

1.2 Comparação entre a solução numérica e analítica com o método de Runge-Kutta

1.2.1 Modelagem

A modelagem nesse exercício é a mesma do anterior, mas dessa vez, utilizaremos o método de *Runge-Kutta* para a integração numérica, e a analítica com a equação 1.7.

1.2.2 Código

Utilizando o método de *Runge-Kutta* no código abaixo, executamos a integração com passo 0,5.

```
1  clc(); clear(); close();
2
3  t(1) = 0; %instante inicial
4  tf = 10; %instante final
5
6  y(1) = 0; %condição inicial
7  ye(1) = 0; %valor inicial da solução exata
8
9  h = 0.5; %passo
10
11 n = round(tf/h); %Cálculo do número de passos
12
13 for i=1:n %método de Runge-Kutta
14     t(i+1)=t(i)+h; %tempo
15     k1 = h*derivada(y(i));
16     k2 = h*derivada(y(i)+k1/2);
17     k3 = h*derivada(y(i)+k2/2);
18     k4 = h*derivada(y(i)+k3);
19
20     y(i+1)=y(i)+(k1+2*k2+2*k3+k4)/6; %solução numérica
21     ye(i+1)=1-exp(-t(i+1)/2); %solução analítica
22 end
23
24 f1 = figure;
25 plot(t,y,'g')
26 hold on
27 plot(t,ye,'b')
28 hold off
29
30 title("Comparação entre solução numérica e solução exata")
31 xlabel("Tempo t (s)")
32 ylabel("Solução")
33 legend('Solução Numérica','Solução Exata','Location','southeast')
34 ax = gca;
35 ax.XRuler.Exponent = 0;
36 trocar()
37
38
39
40
41
42 f2 = figure;
43 plot(t,y,'LineWidth',2)
```

```

44 hold on
45 plot(t, ye, 'LineWidth', 2)
46 hold off
47 title("Comparação entre solução numérica e solução exata")
48 xlabel("Tempo t (s)")
49 ylabel("Solução")
50 legend({'Solução Numérica', 'Solução Analítica'}, 'FontSize', 10, 'Location', 'southeast')
51 ax = gca;
52 ax.XRuler.Exponent = 0;
53 trocar()
54
55
56
57
58 f3 = figure;
59 plot(t, y, 'LineWidth', 1)
60 hold on
61 plot(t, ye, 'LineWidth', 1)
62 hold off
63 T=["Comparação entre solução numérica e solução exata", "Tempo t (s)", "Solução", "Solução numérica", "Solução exata"];
64 title(T(1))
65 xlabel(T(2))
66 ylabel(T(3))
67 legend({T(4), T(5)}, 'FontSize', 10, 'Location', 'northwest')
68 ax = gca;
69 ax.XRuler.Exponent = 0;
70 trocar()
71 grid on

```

Com esse código para derivada:

```

1 function out = derivada(y)
2 out = (1-y)/2;
3 end

```

E esse para substituição de ponto por vírgula nos gráficos:

```

1 function trocar()
2 xl=get(gca, 'XTickLabel');
3 new_xl=strrep(xl(:), '.', ',');
4 set(gca, 'XTickLabel', new_xl);
5
6 yl=get(gca, 'YTickLabel');
7 new_yl=strrep(yl(:), '.', ',');
8 set(gca, 'YTickLabel', new_yl);
9 end

```


1.2.3 Resultados

A seguir, três tipos diferentes de gráficos, meramente para demonstração de recursos gráficos do *Matlab*.

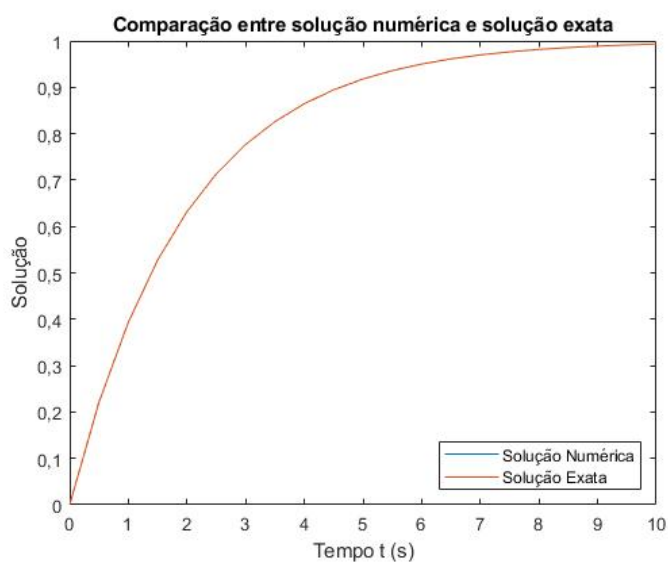


Figura 5 – Primeiro tipo de gráfico para os resultados da temperatura

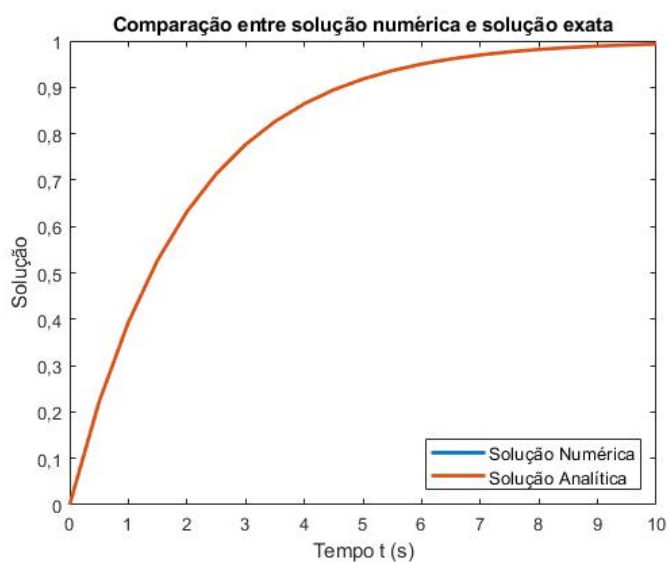


Figura 6 – Segundo tipo de gráfico para os resultados da temperatura

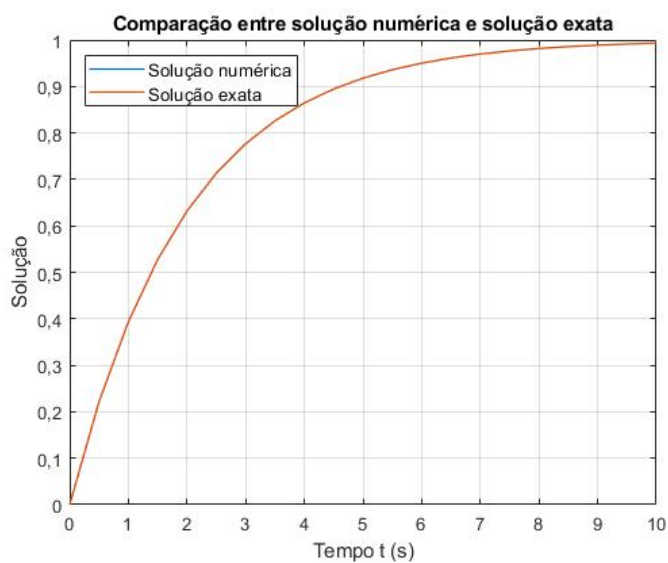


Figura 7 – Terceiro tipo de gráfico para os resultados da temperatura

Observa-se que nesse caso, mesmo com o passo $h = 0,5$, a solução numérica é bem mais próxima à analítica, pois o método de *Runge-Kutta* possui convergência maior que o método de *Euler*. Por isso, observando apenas o gráfico, há a impressão de que a solução numérica não está no gráfico, mas está embaixo da analítica.

2 Exercícios

2.1 Reservatório com uma entrada e uma saída

2.1.1 Modelagem

Esse problema consiste na determinação da altura de um reservatório que recebe e perde água, em função do tempo. A figura 8 mostra um esquema do problema.

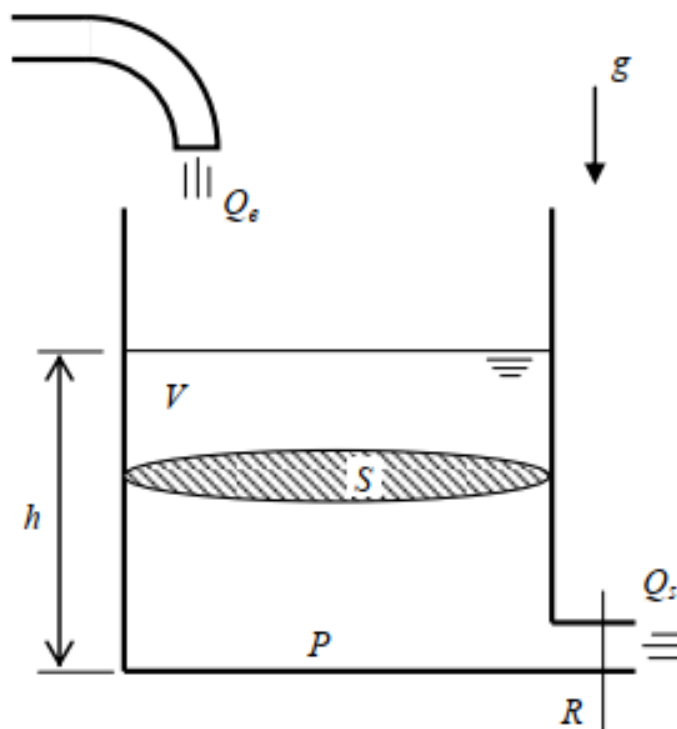


Figura 8 – Esquema do exercício 1

Os parâmetros da simulação são:

- $Q_e = 0,010247m^3/s$ - vazão de entrada no reservatório, considerada constante;
- $S = 10m^2$ - área da seção transversal do reservatório;
- $h_0 = 0m$ - altura inicial do reservatório;
- $R = 2 \times 10^8 Pa/(m^3/s)^2$ - parâmetro que relaciona vazão com perda de pressão (perda de carga);
- $\rho = 1000kg/m^3$ - massa específica da água.

e suas variáveis:

- h - altura do reservatório, em metros;
- V - volume de água no reservatório, em metros cúbicos;
- P - pressão relativa à atmosférica, no fundo do reservatório, em Pascal;
- Q_s - vazão de saída, em metros cúbicos por segundo.

Com a hipótese de que a água é um fluido incompressível, tem-se, pela equação da continuidade:

$$\frac{dV}{dt} = Q_e - Q_s \quad (2.1)$$

Supondo que a expressão abaixo modela a perda de carga na saída:

$$P = RQ_s^2 \longrightarrow Q_s = \sqrt{\frac{P}{R}} \quad (2.2)$$

com a pressão no fundo do reservatório dada por:

$$P = \rho gh \quad (2.3)$$

volume preenchido do reservatório dado por:

$$V = Sh \longrightarrow \dot{V} = S\dot{h} \quad (2.4)$$

Com as substituições, a equação diferencial ordinária não linear é:

$$\dot{h} = \left(-\sqrt{\frac{\rho gh}{R}} + Q_e \right) \frac{1}{S} \quad (2.5)$$

2.1.2 Código

Assim, pode-se resolver esse problema no *Matlab* com o método de *Euler* e de *Runge-Kutta*, com o código abaixo.

```

1 clc (); clear (); close ;
2
3 %Par metros
4 S = 10; %m2, área da seção transversal
5 R = 2e8; %Pa/(m3/s2) - par metro que relaciona vazão com queda de pressão
6 rho = 1000; %kg/m3 - massa específica da água
7 g = 10; %m/s2 - aceleração da gravidade na Terra
8 Qe = 0.010247; %m3/s - vazão de entrada
9 hint = 0; %altura inicial
10
11 ti = 0; %tempo inicial
12 tf = 30000; %tempo final

```

```

13 dt = 0.1; %passo
14
15 ndivs = (tf-ti)/dt;
16
17 t = linspace(ti,tf,ndivs); %vetor de tempos
18
19 he(1) = hint;
20
21 for i=1:ndivs-1
22     he(i+1)= he(i)+ dt*derivada(he(i),S,R,rho,g,Qe);
23 end
24
25 hrk(1) = hint;
26
27 for i=1:ndivs-1
28     k1 = dt*derivada(hrk(i),S,R,rho,g,Qe);
29     k2 = dt*derivada(hrk(i)+k1/2,S,R,rho,g,Qe);
30     k3 = dt*derivada(hrk(i)+k2/2,S,R,rho,g,Qe);
31     k4 = dt*derivada(hrk(i)+k3,S,R,rho,g,Qe);
32
33     hrk(i+1)=hrk(i)+(k1+2*k2+2*k3+k4)/6;
34 end
35
36 f1 = figure
37 plot(t,he)
38 title("Altura do reservatório para o Método de Euler")
39 xlabel("Tempo(s)")
40 ylabel("Altura do reservatório (m)")
41 grid on
42
43 f2 = figure
44 plot(t,hrk)
45 title("Altura do reservatório para o Método de Runge-Kutta")
46 xlabel("Tempo(s)")
47 ylabel("Altura do reservatório (m)")
48 grid on

```

e

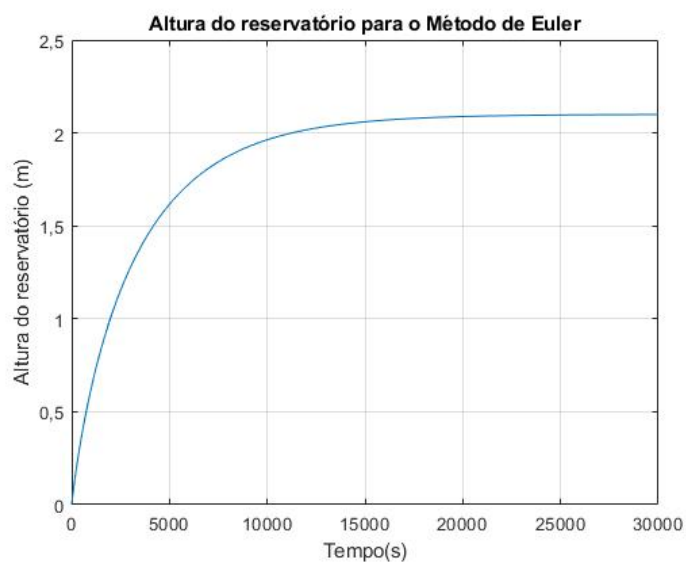
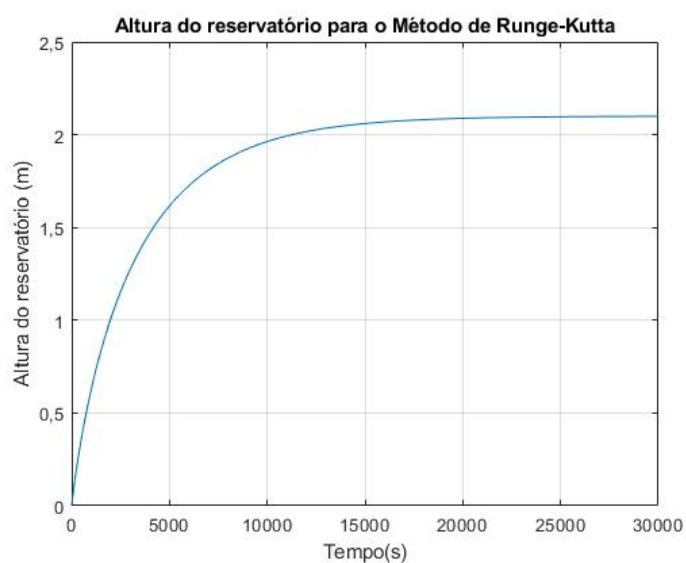
```

1 function hpto = derivada(h,S,R,rho,g,Qe)
2     hpto = (1/S)*(-(rho*g*h/R)^0.5+Qe);

```

2.1.3 Resultados

Com o código acima, foi possível obter os resultados para o método de *Euler* (figura 9) e *Runge-Kutta* (figura 10).

Figura 9 – Altura determinada pelo método de *Euler*Figura 10 – Altura determinada pelo método de *Runge-Kutta*

Percebe-se que ambos métodos indicaram uma estabilização para a altura em $2.1m$.

2.2 Dois reservatórios com uma entrada e uma saída

2.2.1 Modelagem

Parecido com o problema anterior, aqui será determinada a altura em função do tempo de dois reservatórios. A figura 11 mostra um esboço desse problema.

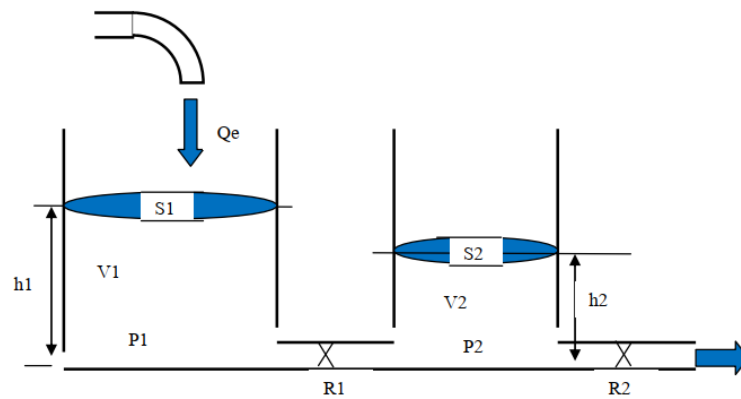


Figura 11 – Esquema do exercício 2

Sob as mesmas mesmas hipóteses adotadas no exercício de um reservatório, temos as seguintes equações diferenciais:

$$\dot{h}_1 = \left[Q_e - \sqrt{\frac{\rho g}{R_a}} (h_1 - h_2) \right] \frac{1}{S_1} \quad (2.6)$$

$$\dot{h}_2 = \left[\sqrt{\frac{\rho g}{R_a}} (h_1 - h_2) - \sqrt{\frac{\rho g}{R_s}} h_2 \right] \frac{1}{S_2} \quad (2.7)$$

sendo os parâmetros:

- $Q_e = 0,010247 m^3/s$ - vazão de entrada no reservatório 1, considerada constante;
- $S_1 = 10 m^2$ - área da seção transversal do reservatório 1;
- $S_2 = 8 m^2$ - área da seção transversal do reservatório 2;
- $R_a = 2 \times 10^8 Pa/(m^3/s)^2$ - parâmetro que relaciona vazão com perda de pressão (perda de carga) na primeira saída;
- $R_b = 1 \times 10^8 Pa/(m^3/s)^2$ - parâmetro que relaciona vazão com perda de pressão (perda de carga) na segunda saída;
- $h_{10} = 0 m$ - altura inicial do reservatório 1;
- $h_{20} = 0 m$ - altura inicial do reservatório 2;
- $\rho = 1000 kg/m^3$ - massa específica da água.

e as variáveis:

- \dot{h}_1 - altura do reservatório 1, em metros;
- \dot{h}_2 - altura do reservatório 2, em metros.

2.2.2 Código

Assim, pode-se resolver esse problema no *Matlab* com o método de *Euler* e o de *Runge-Kutta*, com o código abaixo.

```

1 %% Deixa os eixos em LaTeX
2 set(groot, 'defaultLegendInterpreter', 'latex');
3 clc(); clear(); close();
4
5 hint1 = 0; %altura inicial do reservatório 1
6 hint2 = 0; %altura inicial do reservatório 2
7
8 ti = 0; %tempo inicial
9 tf = 30000; %tempo final
10 dt = 0.5; %passo
11
12 ndivs = (tf-ti)/dt;
13
14 t = linspace(ti, tf, ndivs); %vetor de tempos
15 he=zeros(ndivs,2);
16
17 he(1,1:2) = [hint1 hint2];
18
19 for i=1:ndivs-1
20     he(i+1,:) = he(i,:) + dt*derivadas(he(i,1),he(i,2));
21 end
22
23
24 f1 = figure;
25 plot(t,he)
26 title("Alturas dos reservatórios para o Método de Euler")
27 xlabel("Tempo (s)")
28 ylabel("Altura (m)")
29 legend('Reservatório 1', 'Reservatório 2', 'Location', 'southeast')
30 grid on
31 trocar()
32
33
34 hrk(1,1) = hint1;
35 hrk(1,2) = hint2;
36 k(1,1)=0;
37 k(1,2)=0;
38
39 for i=1:ndivs-1
40     k(1,:) = dt*derivadas(he(i,1),he(i,2));
41     k(2,:) = dt*derivadas(he(i,1)+k(1,1)/2,he(i,2)+k(1,2)/2);
42     k(3,:) = dt*derivadas(he(i,1)+k(2,1)/2,he(i,2)+k(2,2)/2);
43     k(4,:) = dt*derivadas(he(i,1)+k(3,1),he(i,2)+k(3,2));

```



```

44     hrk(i+1,:) = hrk(i,:) + (k(1,:) + 2*k(2,:) + 2*k(3,:) + k(4,:)) / 6;
45
46 end
47
48
49 f2 = figure;
50 plot(t, hrk)
51 title("Alturas dos reservatórios para o Método de Runge-Kutta")
52 xlabel("Tempo (s)")
53 ylabel("Altura (m)")
54 legend('Reservatório 1', 'Reservatório 2', 'Location', 'southeast')
55 grid on
56
57
58 trocar()

```

e

```

1 function out = derivadas(h1, h2)
2 Qe = 0.010247; %m3/s - vazão volumétrica
3 rho = 1000; %kg/m3 - massa específica da água
4 Ra = 2e8; %par metro da perda de carga 1
5 Rs = 0.5*Ra; %par metro da perda de carga 2
6 g = 10; %gravidade na terra
7 S1 = 10; %área do reservatório 1
8 S2 = 0.8*S1; %área do reservatório 2
9
10 hpt1 = (1/S1) * (Qe - (rho*g*(h1-h2)/Ra)^0.5);
11 hpt2 = (1/S2) * ((rho*g*(h1-h2)/Ra)^0.5 - (rho*g*h2/Rs)^0.5);
12 out = [hpt1 hpt2];

```

2.2.3 Resultados

Com o código acima, foi possível obter os resultados para o método de *Euler* (figura 12) e o método de *Runge-Kutta* (figura 13). Os métodos mostraram grande similaridade no resultado.

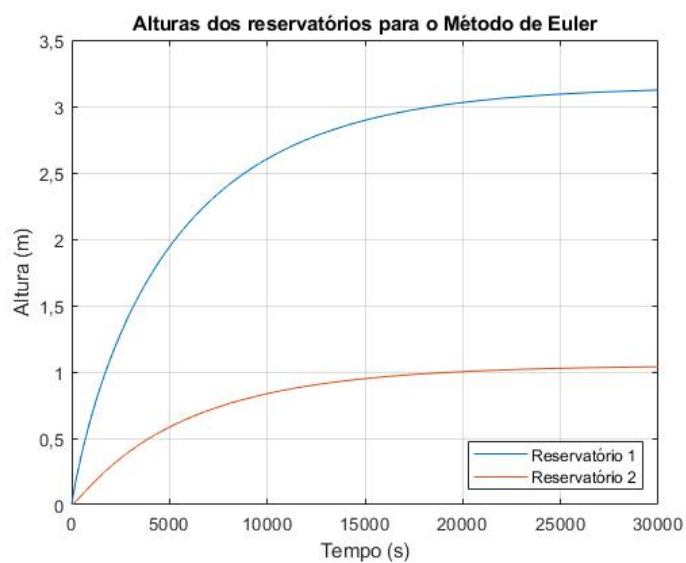


Figura 12 – Alturas determinadas pelo método de *Euler*

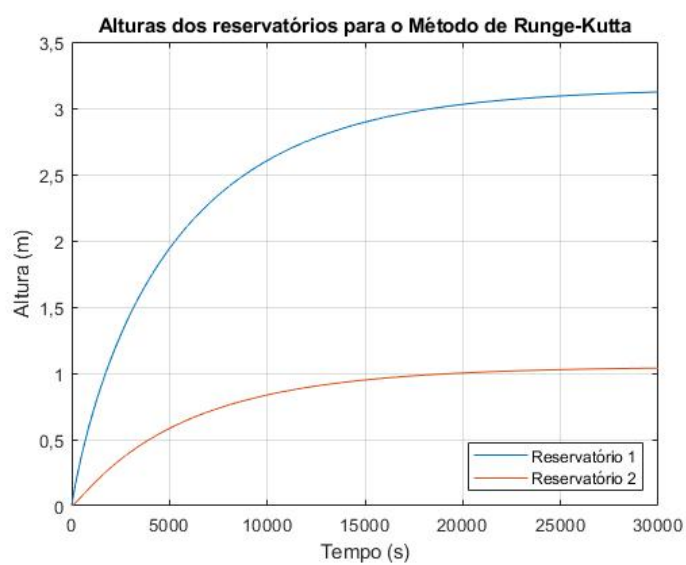


Figura 13 – Alturas determinadas pelo método de *Runge-Kutta*